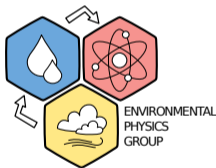


# O modelowaniu chmur w chmurze

(i otwartych narzędziach do modelowania chmur rozwijanych na AGH)

Sylwester Arabas



seminarium SKNF Bozon AGH, 19.III.2024

- modelowanie chmur: fizyka i informatyka stosowana
- otwarte pakiety oprogramowania rozwijane na AGH
- demo (przykłady prac dyplomowych)
- tech stack, tematy prac domowych i dalsze losy absolwentów

- modelowanie chmur: fizyka i informatyka stosowana
- otwarte pakiety oprogramowania rozwijane na AGH
- demo (przykłady prac dyplomowych)
- tech stack, tematy prac domowych i dalsze losy absolwentów



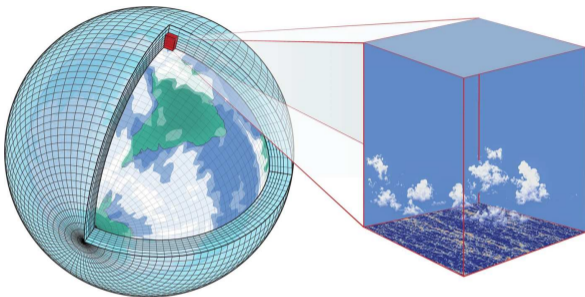
“Cloud and ship. Ukraine, Crimea, Black sea, view from Ai-Petri mountain”

(photo: Yevgen Timashov / National Geographic)



“Cloud and ship. Ukraine, Crimea, Black sea, view from Ai-Petri mountain”

(photo: Yevgen Timashov / National Geographic)



“Grid cells in a global climate model and a large-eddy simulation of shallow cumulus clouds at 5 m resolution”

(fig. from Schneider et al. 2017)



MENU

ABOUT

DATA

DOCUMENTATION

FOCAL POINTS PORTAL  
HELP

BUREAU PORTAL

LIBRARY

LINKS

LANGUAGES



SEARCH

ipcc

REPORTS

SYNTHESIS REPORT

WORKING GROUPS

ACTIVITIES

NEWS

FOLLOW

SHARE

CALENDAR

# The Intergovernmental Panel on Climate Change

The Intergovernmental Panel on Climate Change (IPCC) is the United Nations body for assessing the science related to climate change.

WORKING GROUP II SIXTH ASSESSMENT REPORT



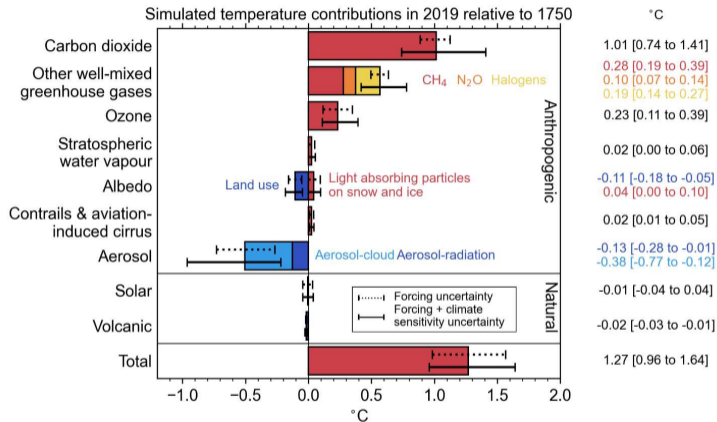
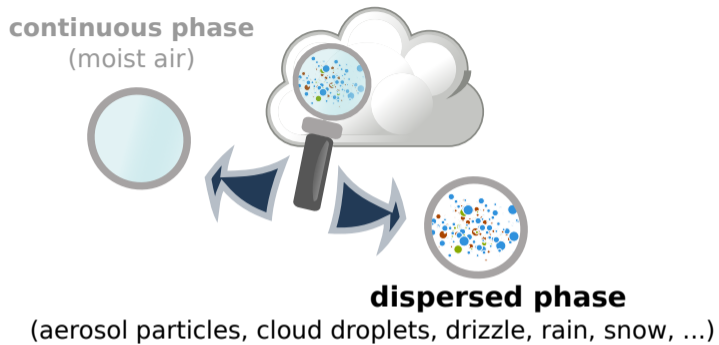
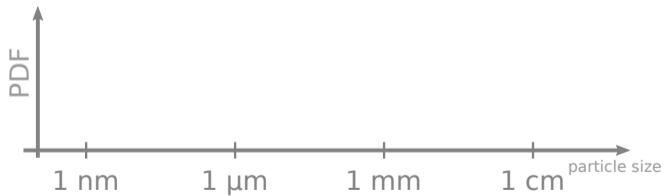
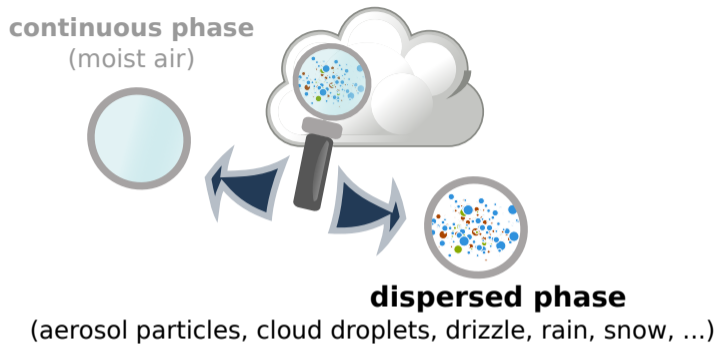


Figure 7.7: The contribution of forcing agents to 2019 temperature change relative to 1750 produced using the two-layer emulator (Supplementary Material 7.SM.2), constrained to assessed ranges for key climate metrics described in Cross-Chapter Box 7.1.







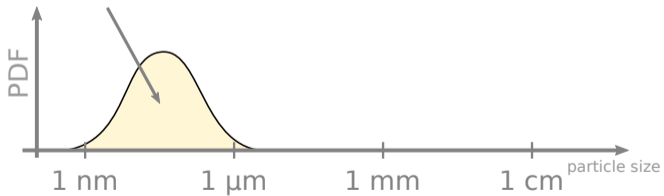


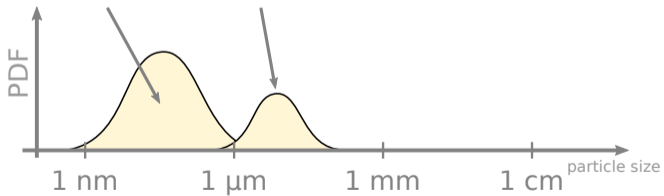
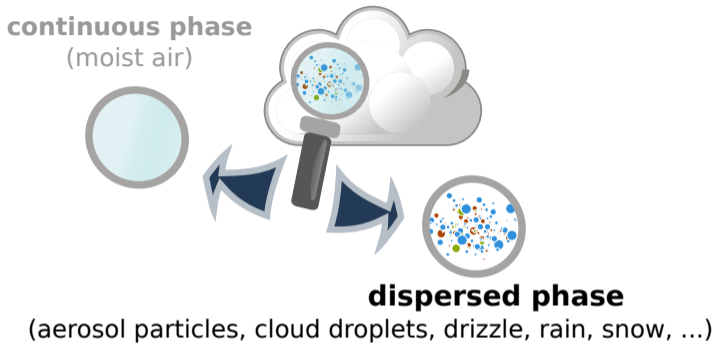
**continuous phase**  
(moist air)

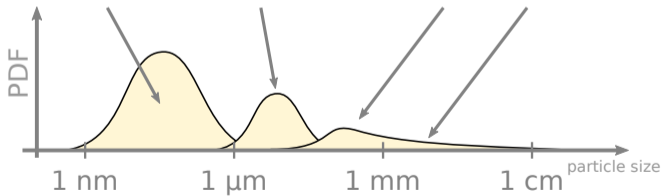
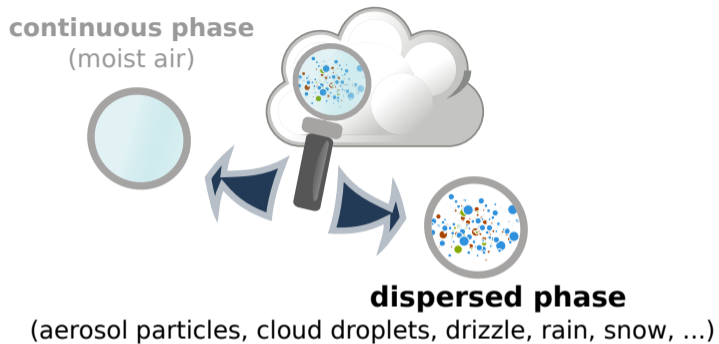


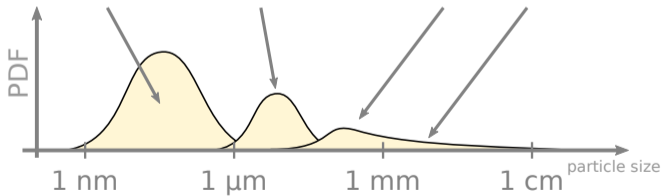
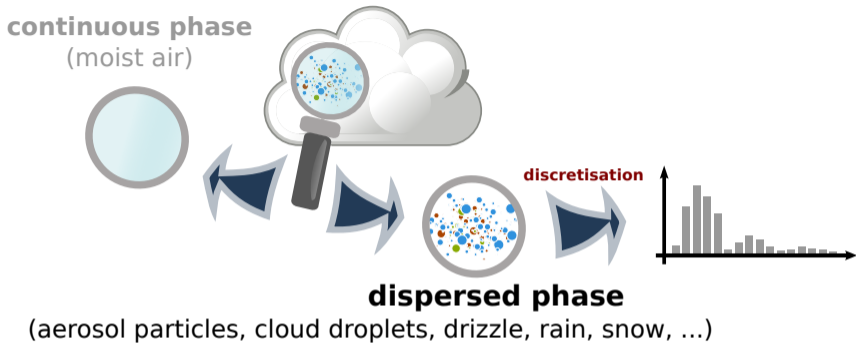
**dispersed phase**

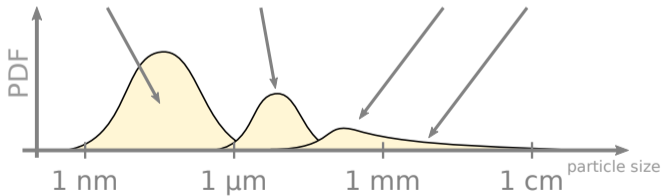
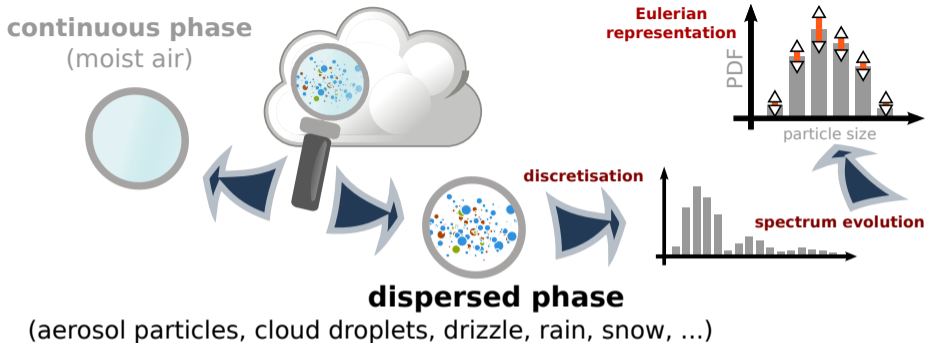
(aerosol particles, cloud droplets, drizzle, rain, snow, ...)











## równania koagulacji Smoluchowskiego (SCE)

liczebność cząstek o rozmiarze  $x$  w czasie  $t$ :  $c(x, t): \mathbb{R}^+ \times \mathbb{R}^+ \rightarrow \mathbb{R}^+$

prawdopodobieństwo zderzeń:  $a(x_1, x_2): \mathbb{R}^+ \times \mathbb{R}^+ \rightarrow \mathbb{R}^+$



## równania koagulacji Smoluchowskiego (SCE)

liczebność cząstek o rozmiarze  $x$  w czasie  $t$ :  $c(x, t): \mathbb{R}^+ \times \mathbb{R}^+ \rightarrow \mathbb{R}^+$

prawdopodobieństwo zderzeń:  $a(x_1, x_2): \mathbb{R}^+ \times \mathbb{R}^+ \rightarrow \mathbb{R}^+$

$$\dot{c}(x) = \frac{1}{2} \int_0^x a(y, x-y)c(y)c(x-y)dy - \int_0^\infty a(y, x)c(y)c(x)dy \quad (1)$$

## równania koagulacji Smoluchowskiego (SCE)

liczebność cząstek o rozmiarze  $x$  w czasie  $t$ :  $c(x, t): \mathbb{R}^+ \times \mathbb{R}^+ \rightarrow \mathbb{R}^+$

prawdopodobieństwo zderzeń:  $a(x_1, x_2): \mathbb{R}^+ \times \mathbb{R}^+ \rightarrow \mathbb{R}^+$

$$\dot{c}(x) = \frac{1}{2} \int_0^x a(y, x-y) c(y) c(x-y) dy - \int_0^\infty a(y, x) c(y) c(x) dy \quad (1)$$

zdiskretyzowana postać:  $c_i = c(x_i)$  gdzie  $x_i = i \cdot x_0$

$$\dot{c}_i = \frac{1}{2} \sum_{k=1}^{i-1} a(x_k, x_{i-k}) c_k c_{i-k} - \sum_{k=1}^{\infty} a(x_k, x_i) c_k c_i \quad (2)$$

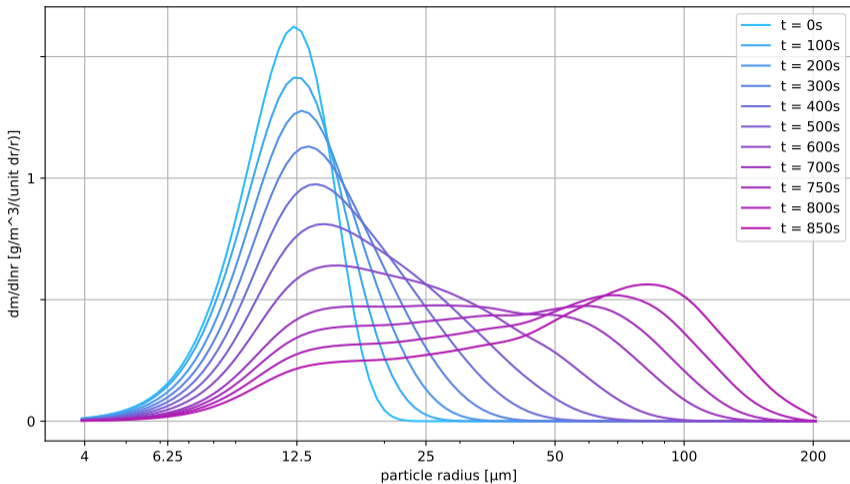


figure (PySDM simulation): Bartman, Arabas et al. 2021, LNCS  
(doi:10.1007/978-3-030-77964-1\_2)

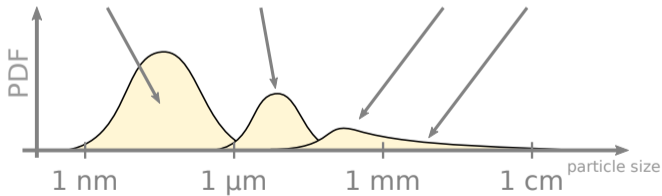
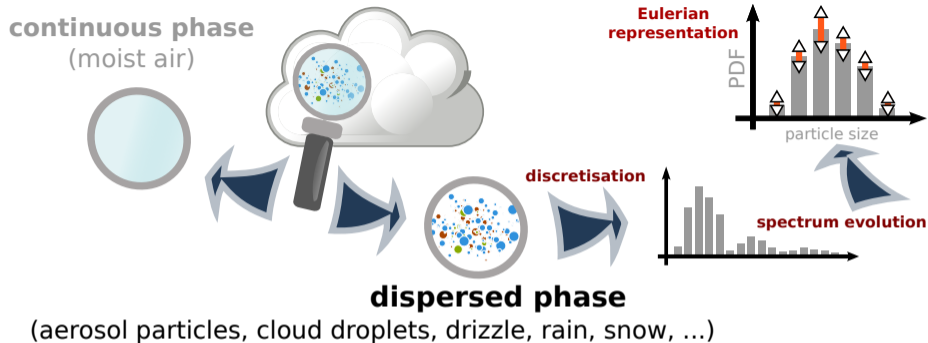


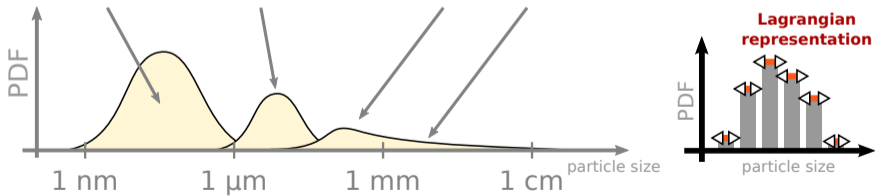
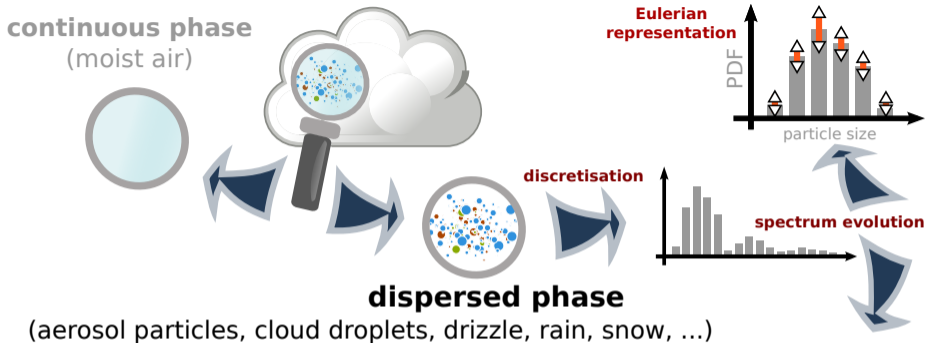
- ▶ rozwiązania analityczne znane tylko dla prostych f-cji  $a(x, y)$
- ▶ "przekleństwo wymiarowości"<sup>a</sup> na przeszkodzie wykorzystania metod numerycznych (gdy rozróżniamy cząstki o tych samych rozmiarach, ale innym składzie/ładunku/...)

---

<sup>a</sup>[https://pl.wikipedia.org/wiki/Przekle%C5%84stwo\\_wymiarowo%C5%9Bci](https://pl.wikipedia.org/wiki/Przekle%C5%84stwo_wymiarowo%C5%9Bci)









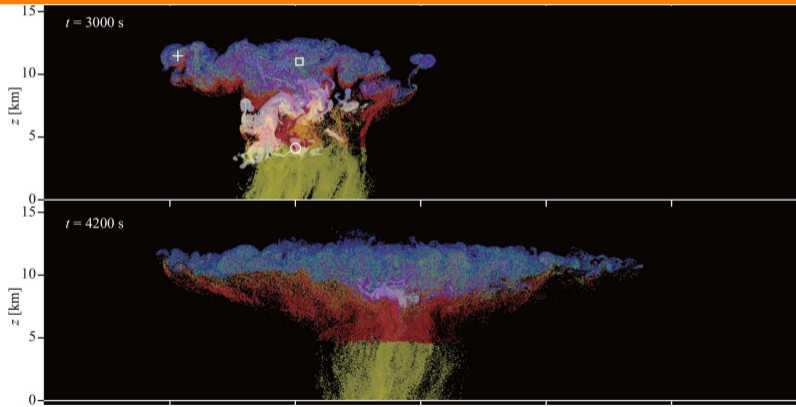
## SDM: alternatywa dla równań Smoluchowskiego

Shima et al. 2009 (doi:10.1002/qj.441): warm-rain

# SDM: alternatywa dla równań Smoluchowskiego

Shima et al. 2009 (doi:10.1002/qj.441): warm-rain

Shima et al. 2020 (doi:10.5194/gmd-13-4107-2020): mixed-phase



**Figure 1.** Typical realization of CTRL cloud spatial structures at  $t = 2040, 2460, 3000, 4200,$  and  $5400$  s. The mixing ratio of cloud water, rainwater, cloud ice, graupel, and snow aggregates are plotted in fading white, yellow, blue, red, and green, respectively. The symbols indicate examples of unrealistic predicted ice particles (Sects. 7.3 and 9.1). See also Movie 1 in the video supplement.



zdjęcie (CC-BY): T. Matsui / [https://en.wikipedia.org/wiki/K\\_computer](https://en.wikipedia.org/wiki/K_computer)

przykładowa animacja:

[https://zenodo.org/records/3841697/files/Movie01.QHYD\\_TYP-CTRL\\_2.2.0.gif](https://zenodo.org/records/3841697/files/Movie01.QHYD_TYP-CTRL_2.2.0.gif)

## SCE (naiwna implementacja)

## SDM

typ symulacji

deterministyczna

Monte-Carlo (wymaga wielu realizacji)

## SCE (naiwna implementacja)

## SDM

typ symulacji

deterministyczna

Monte-Carlo (wymaga wielu realizacji)

zderzane pary rozmiarów kropeł

wszystkie pary (i,j)

losowy zbiór  $n_{sd}/2$  niepokrywających się par,  
prawdopodobieństwo skalowane o czynnik  $(n_{sd}^2 - n_{sd})/2$  to  $n_{sd}/2$

## SCE (naiwna implementacja)

## SDM

### typ symulacji

deterministyczna

Monte-Carlo (wymaga wielu realizacji)

### zderzane pary rozmiarów kropeł

wszystkie pary (i,j)

losowy zbiór  $n_{sd}/2$  niepokrywających się par,  
prawdopodobieństwo skalowane o czynnik  $(n_{sd}^2 - n_{sd})/2$  to  $n_{sd}/2$

### złożoność obliczeniowa

$\mathcal{O}(n_{sd}^2)$  (zależności danych pomiędzy parami)

$\mathcal{O}(n_{sd})$  ("embarrassingly parallel"!)

## SCE (naiwna implementacja)

## SDM

### typ symulacji

deterministyczna

Monte-Carlo (wymaga wielu realizacji)

### zderzane pary rozmiarów kropeł

wszystkie pary (i,j)

losowy zbiór  $n_{sd}/2$  niepokrywających się par,  
prawdopodobieństwo skalowane o czynnik  $(n_{sd}^2 - n_{sd})/2$  to  $n_{sd}/2$

### złożoność obliczeniowa

$\mathcal{O}(n_{sd}^2)$  (zależności danych pomiędzy parami)

$\mathcal{O}(n_{sd})$  ("embarrassingly parallel"!)

### zajęcie koagulacji

w każdym kroku

wynik porównania prawdopodobieństwa z liczbą losową

## SCE (naiwna implementacja)

## SDM

### typ symulacji

deterministyczna

Monte-Carlo (wymaga wielu realizacji)

### zderzane pary rozmiarów kropeł

wszystkie pary (i,j)

losowy zbiór  $n_{sd}/2$  niepokrywających się par,  
prawdopodobieństwo skalowane o czynnik  $(n_{sd}^2 - n_{sd})/2$  to  $n_{sd}/2$

### złożoność obliczeniowa

$\mathcal{O}(n_{sd}^2)$  (zależności danych pomiędzy parami)

$\mathcal{O}(n_{sd})$  ("embarrassingly parallel"!)

### zajęcie koagulacji

w każdym kroku

wynik porównania prawdopodobieństwa z liczbą losową

### wynik koagulacji

koaguluje część z  $c_{[i]}$ ,  $c_{[j]}$  kropeł

koagulują wszystkie z  $\min\{c_{[i]}, c_{[j]}\}$  kropeł



## otwarte implementacje SDM:

- ▶ **SCALE-SDM** @RIKEN.jp (Fortran, integralna część pakietu CFD, 1 plik)

## otwarte implementacje SDM:

- ▶ **SCALE-SDM** @RIKEN.jp (Fortran, integralna część pakietu CFD, 1 plik)
- ▶ **Pencil Code** @Nordita.org Fortran, integralna część pakietu CFD, 1 plik)

## otwarte implementacje SDM:

- ▶ **SCALE-SDM** @RIKEN.jp (Fortran, integralna część pakietu CFD, 1 plik)
- ▶ **Pencil Code** @Nordita.org Fortran, integralna część pakietu CFD, 1 plik)
- ▶ **PALM** @uni-hannover.de Fortran, integralna część pakietu CFD, 1 plik

## otwarte implementacje SDM:

- ▶ **SCALE-SDM** @RIKEN.jp (Fortran, integralna część pakietu CFD, 1 plik)
- ▶ **Pencil Code** @Nordita.org Fortran, integralna część pakietu CFD, 1 plik)
- ▶ **PALM** @uni-hannover.de Fortran, integralna część pakietu CFD, 1 plik
- ▶ **NTLP** @ncar.ucar.edu Fortran, integralna część pakietu CFD, 1 plik

## otwarte implementacje SDM:

- ▶ **SCALE-SDM** @RIKEN.jp (Fortran, integralna część pakietu CFD, 1 plik)
- ▶ **Pencil Code** @Nordita.org Fortran, integralna część pakietu CFD, 1 plik)
- ▶ **PALM** @uni-hannover.de Fortran, integralna część pakietu CFD, 1 plik
- ▶ **NTLP** @ncar.ucar.edu Fortran, integralna część pakietu CFD, 1 plik
- ▶ **libcloudph++** @uw.edu.pl C++, wsparcie dla GPU, biblioteka

## otwarte implementacje SDM:

- ▶ **SCALE-SDM** @RIKEN.jp (Fortran, integralna część pakietu CFD, 1 plik)
- ▶ **Pencil Code** @Nordita.org Fortran, integralna część pakietu CFD, 1 plik)
- ▶ **PALM** @uni-hannover.de Fortran, integralna część pakietu CFD, 1 plik
- ▶ **NTLP** @ncar.ucar.edu Fortran, integralna część pakietu CFD, 1 plik
- ▶ **libcloudph++** @uw.edu.pl C++, wsparcie dla GPU, biblioteka
- ▶ **LCM1D** @dlr.de Fortran/C/shell

## otwarte implementacje SDM:

- ▶ **SCALE-SDM** @RIKEN.jp (Fortran, integralna część pakietu CFD, 1 plik)
- ▶ **Pencil Code** @Nordita.org Fortran, integralna część pakietu CFD, 1 plik)
- ▶ **PALM** @uni-hannover.de Fortran, integralna część pakietu CFD, 1 plik
- ▶ **NTLP** @ncar.ucar.edu Fortran, integralna część pakietu CFD, 1 plik
- ▶ **libcloudph++** @uw.edu.pl C++, wsparcie dla GPU, biblioteka
- ▶ **LCM1D** @dlr.de Fortran/C/shell
- ▶ **superdroplet** @mit.edu Cython/Numba/C++/Fortran 2008/Julia - "hello world"

## otwarte implementacje SDM:

- ▶ **SCALE-SDM** @RIKEN.jp (Fortran, integralna część pakietu CFD, 1 plik)
- ▶ **Pencil Code** @Nordita.org Fortran, integralna część pakietu CFD, 1 plik)
- ▶ **PALM** @uni-hannover.de Fortran, integralna część pakietu CFD, 1 plik
- ▶ **NTLP** @ncar.ucar.edu Fortran, integralna część pakietu CFD, 1 plik
- ▶ **libcloudph++** @uw.edu.pl C++, wsparcie dla GPU, biblioteka
- ▶ **LCM1D** @dlr.de Fortran/C/shell
- ▶ **superdroplet** @mit.edu Cython/Numba/C++/Fortran 2008/Julia - "hello world"
- ▶ **PySDM** @agh.edu.pl Python: Numba (LLVM+OpenMP) + ThrustRTC (GPU)



## otwarte implementacje SDM:

- ▶ **SCALE-SDM** @RIKEN.jp (Fortran, integralna część pakietu CFD, 1 plik)
- ▶ **Pencil Code** @Nordita.org Fortran, integralna część pakietu CFD, 1 plik)
- ▶ **PALM** @uni-hannover.de Fortran, integralna część pakietu CFD, 1 plik
- ▶ **NTLP** @ncar.ucar.edu Fortran, integralna część pakietu CFD, 1 plik
- ▶ **libcloudph++** @uw.edu.pl C++, wsparcie dla GPU, biblioteka
- ▶ **LCM1D** @dlr.de Fortran/C/shell
- ▶ **superdroplet** @mit.edu Cython/Numba/C++/Fortran 2008/Julia - "hello world"
- ▶ **PySDM** @agh.edu.pl Python: Numba (LLVM+OpenMP) + ThrustRTC (GPU)
- ▶ **CLEO** @mpimet.mpg.de C++ (incl. Python API)

- modelowanie chmur: fizyka i informatyka stosowana
- **otwarte pakiety oprogramowania rozwijane na AGH**
- demo (przykłady prac dyplomowych)
- tech stack, tematy prac domowych i dalsze losy absolwentów

# github.com/open-atmos

Search projects

Help Sponsors Log in Register

## PySDM 2.2.0

pip install PySDM

Released: Apr 21, 2023

Pythonic particle-based (super-droplet) warm-rain/aqueous-chemistry cloud microphysics package with box, parcel & 1D/2D prescribed-flow examples in Python, Julia and Matlab

### Navigation

- Project description
- Release history
- Download files
- Project links
  - Homepage
  - Documentation
  - Source
  - Tracker

### Statistics

- GitHub statistics
- ★ Stars: 40
  - 🔗 Forks: 21
  - 🔓 Open Issues: 101
  - 🔓 Open PRs: 13

### Project description

#### PySDM



PySDM is a package for simulating the dynamics of population of particles. It is intended to serve as a building block for simulation systems modelling fluid flows involving a dispersed phase, with PySDM being responsible for representation of the dispersed phase. Currently, the development is focused on atmospheric cloud physics applications, in particular on modelling the dynamics of particles immersed in moist air using the particle-based (a.k.a. super-droplet) approach to represent aerosol/cloud-trail microphysics. The package features a Pythonic high-performance implementation of the Super-Droplet Method (SDM) Monte-Carlo algorithm for representing collisional growth (Suzuki et al. 2009), hence the name.

PySDM has two alternative parallel number-crunching backends available: multi-threaded CPU backend based on [Numba](#) and GPU-resident backend built on top of [PyOpenCL](#). The [Numba](#) backend (aka [SDM](#)) features multi-threaded parallelism for multi-core CPUs. It uses the just-in-time compilation technique based on the LLVM infrastructure. The [PyOpenCL](#) backend (aka [SDM](#)) offers

Search projects

Help Sponsors Log in Register

## PyMPDATA 1.0.11

pip install PyMPDATA

Released: Apr 26, 2023

Numba-accelerated Pythonic implementation of MPDATA with examples in Python, Julia and Matlab

### Navigation

- Project description
- Release history
- Download files
- Project links
  - Documentation
  - Source
  - Tracker

### Statistics

- GitHub statistics
- ★ Stars: 19
  - 🔗 Forks: 10
  - 🔓 Open Issues: 25
  - 🔓 Open PRs: 3
- View statistics for this project via [GitHub Insights](#)

### Project description

#### PyMPDATA



PyMPDATA is a high-performance Numba-accelerated Pythonic implementation of the MPDATA algorithm of Smolarkiewicz et al. used in geophysical fluid dynamics and beyond. MPDATA numerically solves generalised transport equations - partial differential equations used to model conservation/balance laws, scalar transport problems, convection-diffusion phenomena. As of the current version, PyMPDATA supports homogeneous transport in 1D, 2D and 3D using structured meshes, optionally generalised by employment of a Jacobian of coordinate transformation. PyMPDATA includes implementation of a set of MPDATA variants including the non-oscillatory option, infinite-spike, divergent-flow, double-pass donor cell (DPDC) and third-order terms options. It also features support for integration of PDEs/terms in advection-diffusion problems using the pseudo-transport velocity approach. In 2D and 3D simulations, domain-decomposition is used for multi-threaded parallelism.

PyMPDATA is engineered purely in Python targeting both performance and usability, the latter encompassing research users, developers and maintainers' perspectives. From researcher's perspective, PyMPDATA offers hassle-free

Search projects

Help Sponsors Log in Register

## PyPartMC 0.5.0

pip install PyPartMC

Released: Aug 5, 2023

Python interface to PartMC

### Navigation

- Project description
- Release history
- Download files
- Project links
  - Documentation
  - Source
  - Tracker

### Statistics

- GitHub statistics
- ★ Stars: 15
  - 🔗 Forks: 6
  - 🔓 Open Issues: 11
  - 🔓 Open PRs: 3
- View statistics for this project via [GitHub Insights](#)

### Project description



#### PyPartMC

PyPartMC is a Python interface to [PartMC](#), a particle evolved Monte-Carlo code for atmospheric aerosol simulation. PyPartMC is implemented in C++ and it also constitutes C++ API to the PyPartMC Fortran internals. The Python API can facilitate using PartMC from other environments - see, e.g., Julia example below.

#### TL;DR (try in a Jupyter notebook)

```
! pip install pyPartMC
! pip install PartMC
```

#### Jupyter notebooks with examples

- Urban plume scenario demo (as in [PartMC](#)):  
[Urban plume scenario demo \(as in PartMC\)](#)
- Dry-Weil Particle Size Equalization with PartMC and PySDM:  
[Dry-Weil Particle Size Equalization with PartMC and PySDM](#)

## 2D flow field

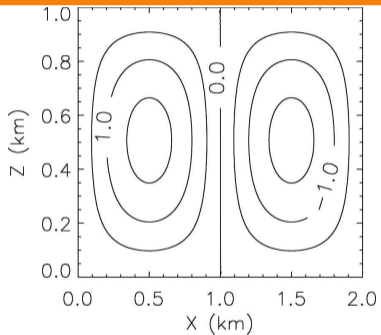
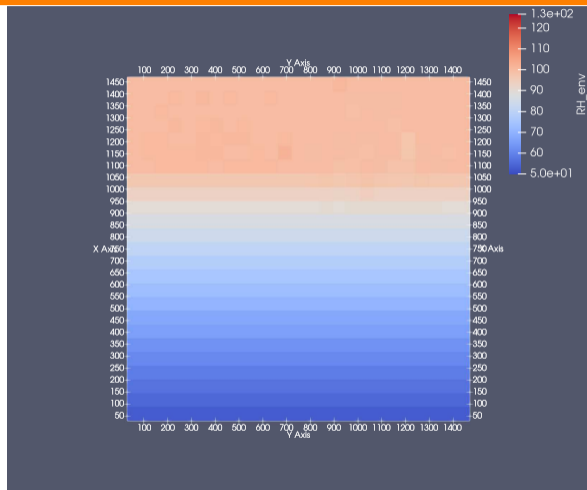
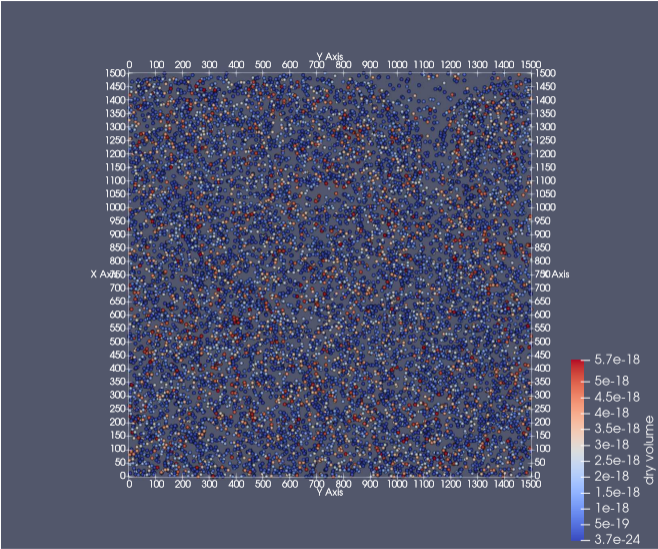
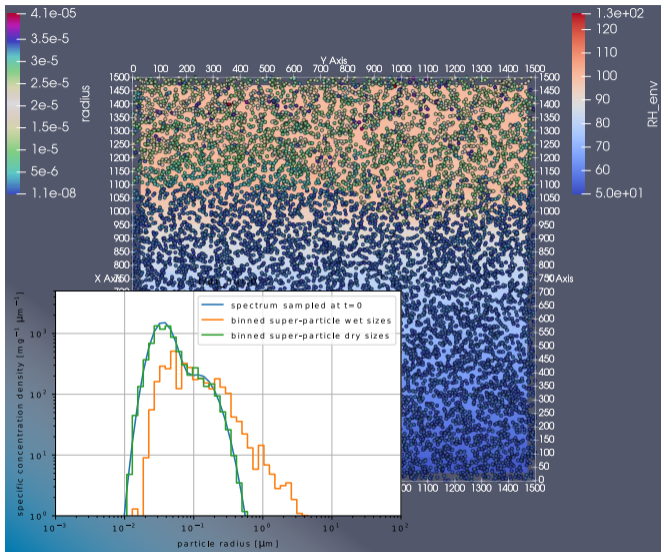


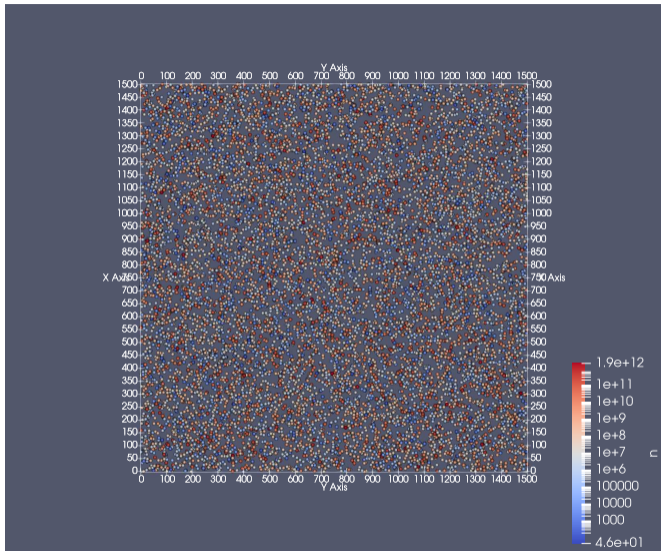
FIG. 1. Time-invariant vertical velocity for the stratocumulus case (contour interval is  $0.5 \text{ m s}^{-1}$ ).

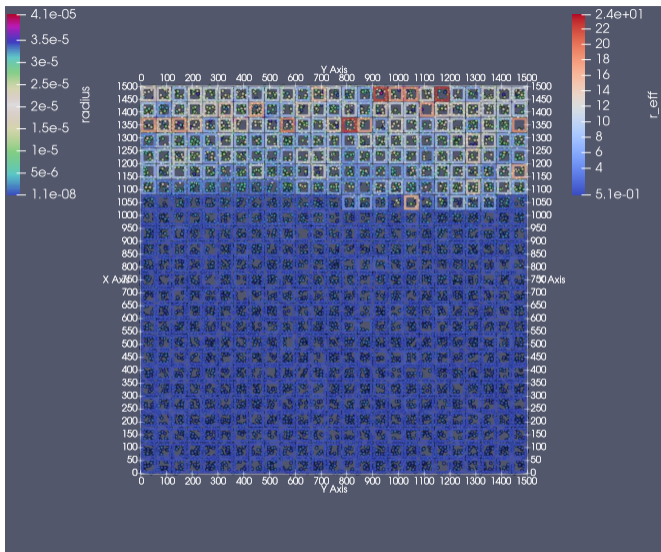
## RH profile at t=0







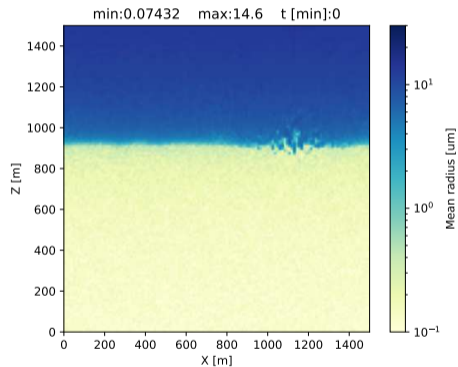
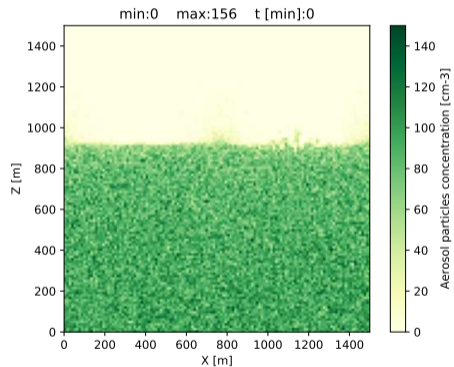






Siatka obliczeniowa:  $128 \times 128$

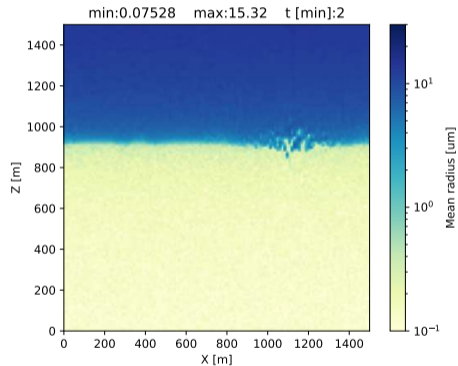
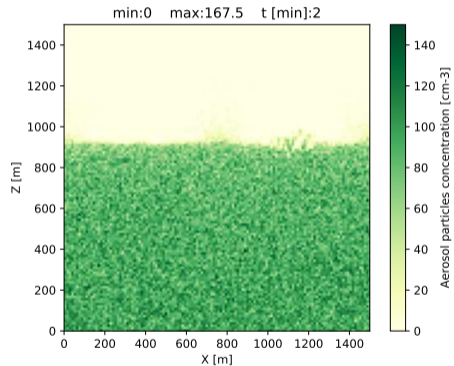
Populacja cząstek obliczeniowych:  $2^{21}$



symulacja i wizualizacja: Piotr Bartman (praca magisterska @ WMil UJ)

Siatka obliczeniowa:  $128 \times 128$

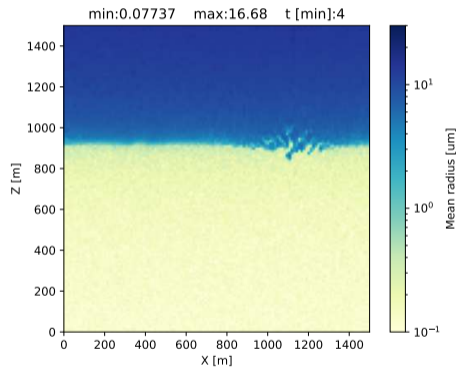
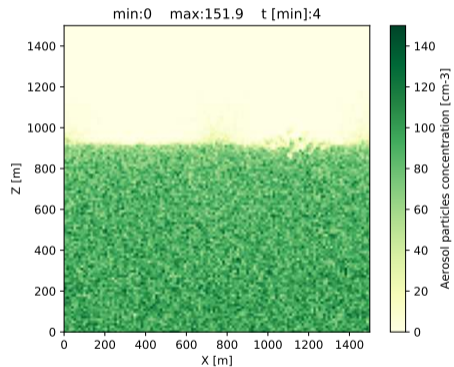
Populacja cząstek obliczeniowych:  $2^{21}$



symulacja i wizualizacja: Piotr Bartman (praca magisterska @ WMil UJ)

Siatka obliczeniowa:  $128 \times 128$

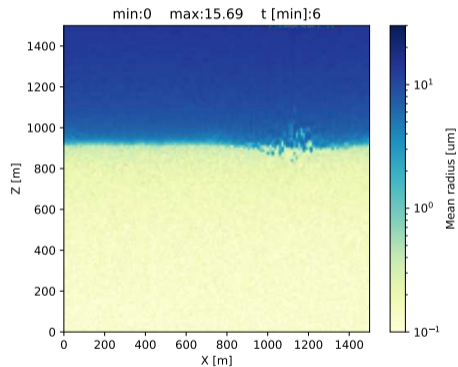
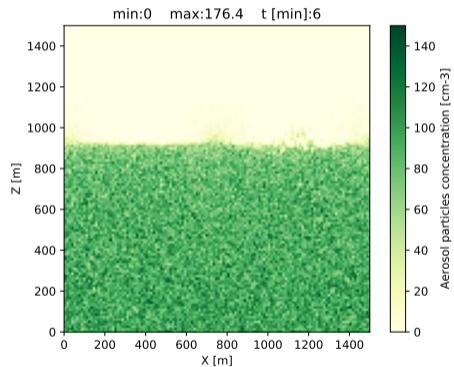
Populacja cząstek obliczeniowych:  $2^{21}$



symulacja i wizualizacja: Piotr Bartman (praca magisterska @ WMil UJ)

Siatka obliczeniowa:  $128 \times 128$

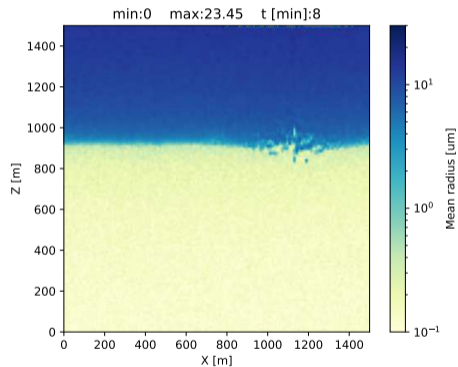
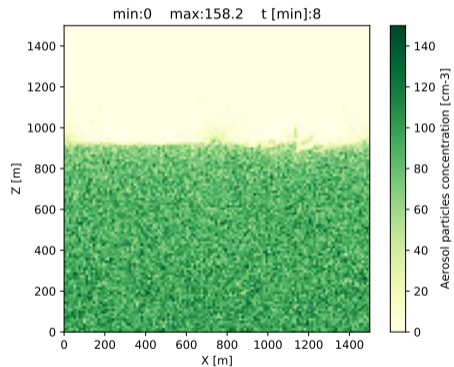
Populacja cząstek obliczeniowych:  $2^{21}$



symulacja i wizualizacja: Piotr Bartman (praca magisterska @ WMil UJ)

Siatka obliczeniowa:  $128 \times 128$

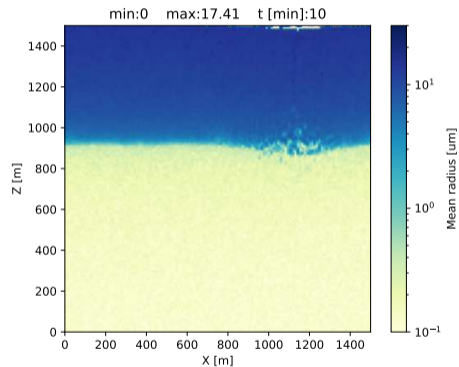
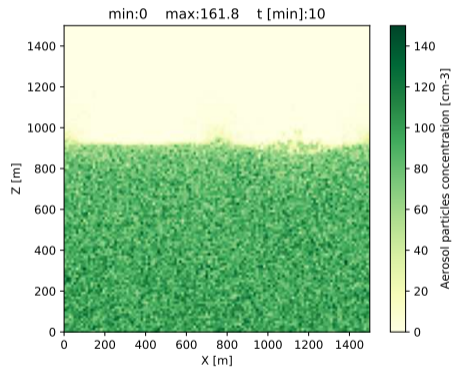
Populacja cząstek obliczeniowych:  $2^{21}$



symulacja i wizualizacja: Piotr Bartman (praca magisterska @ WMil UJ)

Siatka obliczeniowa:  $128 \times 128$

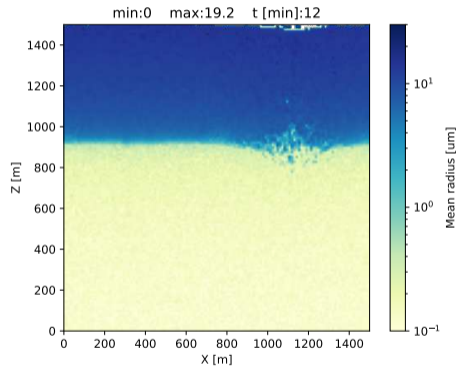
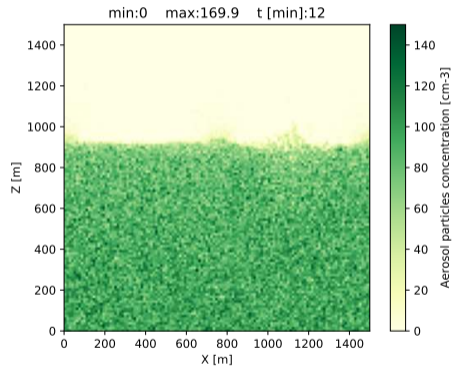
Populacja cząstek obliczeniowych:  $2^{21}$



symulacja i wizualizacja: Piotr Bartman (praca magisterska @ WMil UJ)

Siatka obliczeniowa:  $128 \times 128$

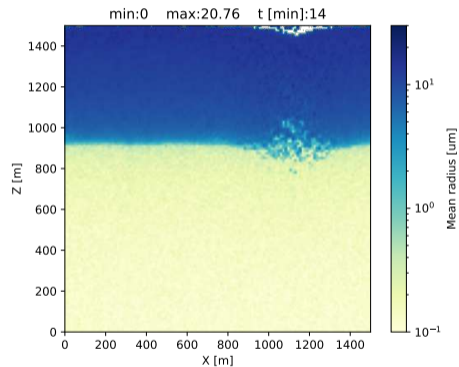
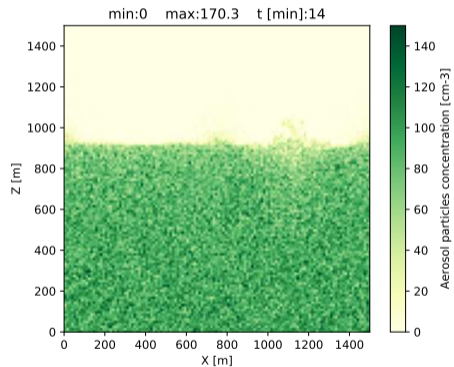
Populacja cząstek obliczeniowych:  $2^{21}$



symulacja i wizualizacja: Piotr Bartman (praca magisterska @ WMil UJ)

Siatka obliczeniowa:  $128 \times 128$

Populacja cząstek obliczeniowych:  $2^{21}$

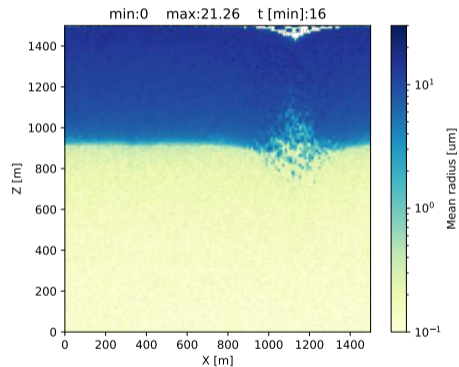
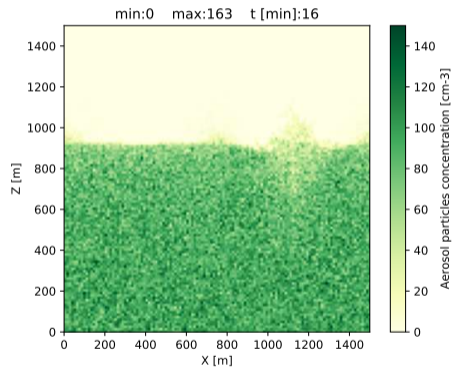


symulacja i wizualizacja: Piotr Bartman (praca magisterska @ WMil UJ)



Siatka obliczeniowa:  $128 \times 128$

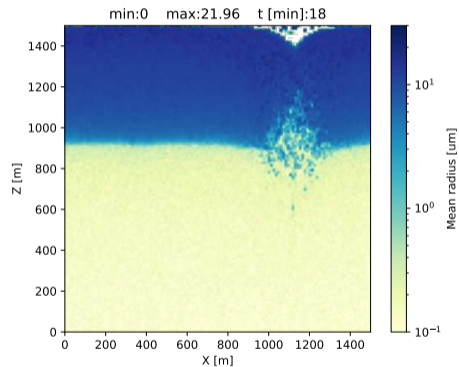
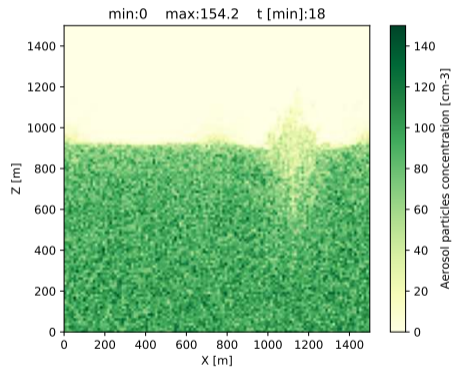
Populacja cząstek obliczeniowych:  $2^{21}$



symulacja i wizualizacja: Piotr Bartman (praca magisterska @ WMil UJ)

Siatka obliczeniowa:  $128 \times 128$

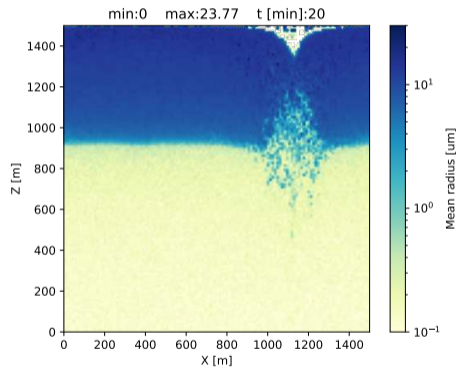
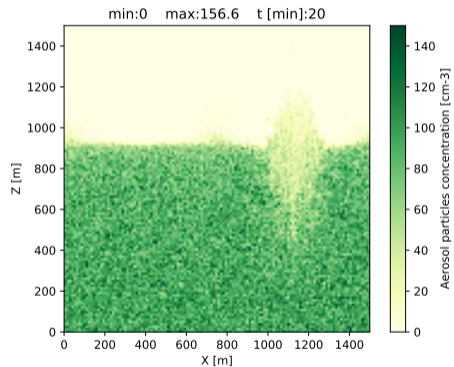
Populacja cząstek obliczeniowych:  $2^{21}$



symulacja i wizualizacja: Piotr Bartman (praca magisterska @ WMil UJ)

Siatka obliczeniowa:  $128 \times 128$

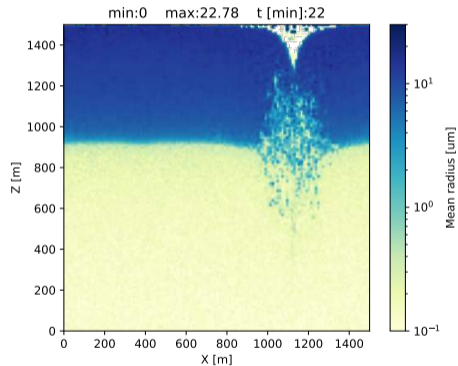
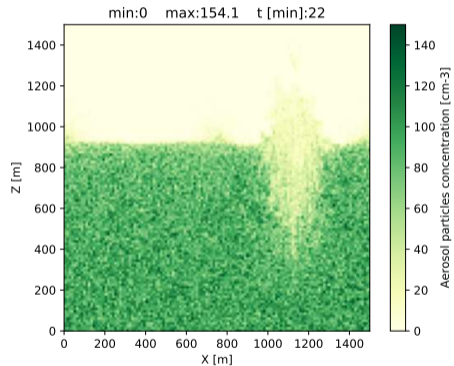
Populacja cząstek obliczeniowych:  $2^{21}$



symulacja i wizualizacja: Piotr Bartman (praca magisterska @ WMil UJ)

Siatka obliczeniowa:  $128 \times 128$

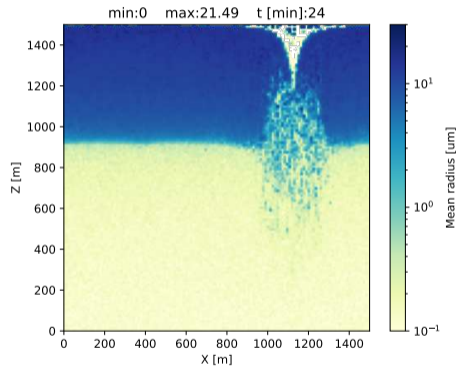
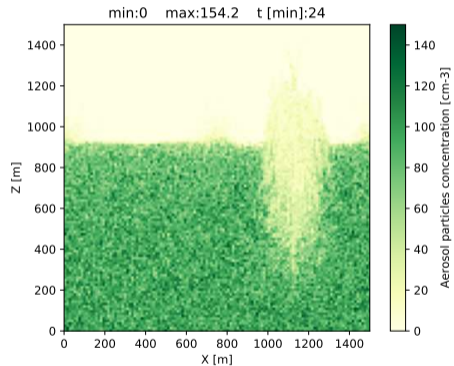
Populacja cząstek obliczeniowych:  $2^{21}$



symulacja i wizualizacja: Piotr Bartman (praca magisterska @ WMil UJ)

Siatka obliczeniowa:  $128 \times 128$

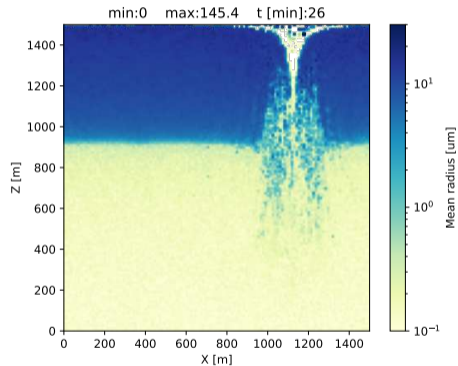
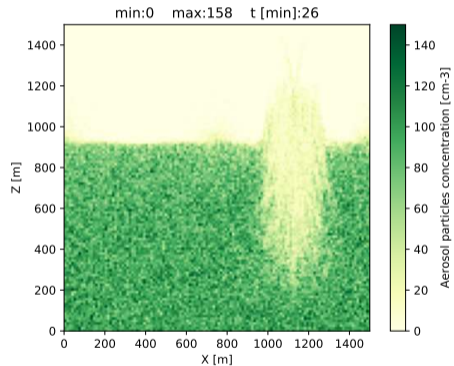
Populacja cząstek obliczeniowych:  $2^{21}$



symulacja i wizualizacja: Piotr Bartman (praca magisterska @ WMil UJ)

Siatka obliczeniowa:  $128 \times 128$

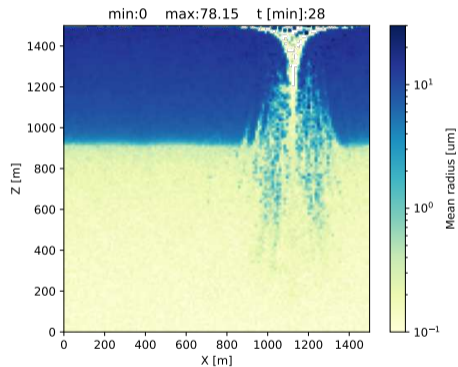
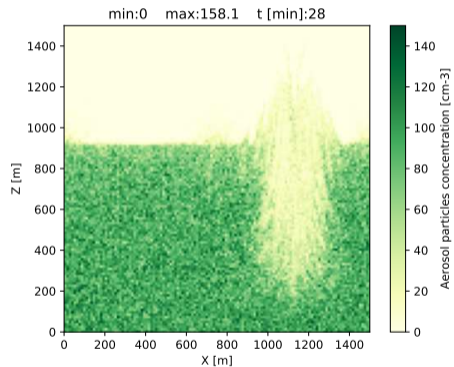
Populacja cząstek obliczeniowych:  $2^{21}$



symulacja i wizualizacja: Piotr Bartman (praca magisterska @ WMil UJ)

Siatka obliczeniowa:  $128 \times 128$

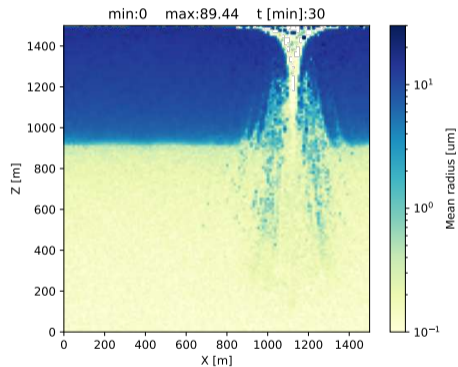
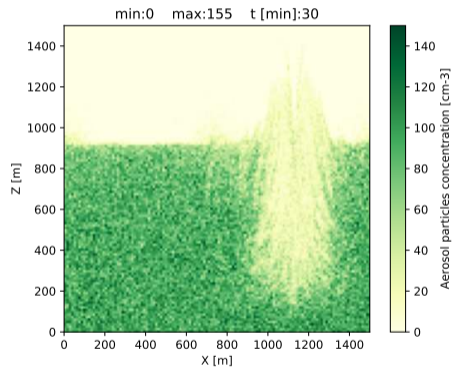
Populacja cząstek obliczeniowych:  $2^{21}$



symulacja i wizualizacja: Piotr Bartman (praca magisterska @ WMil UJ)

Siatka obliczeniowa:  $128 \times 128$

Populacja cząstek obliczeniowych:  $2^{21}$

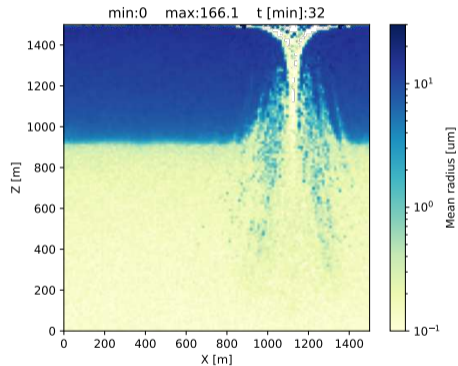
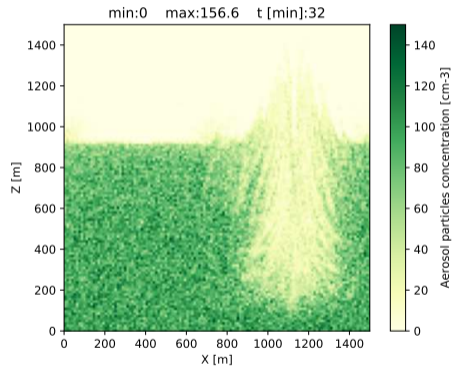


symulacja i wizualizacja: Piotr Bartman (praca magisterska @ WMil UJ)



Siatka obliczeniowa:  $128 \times 128$

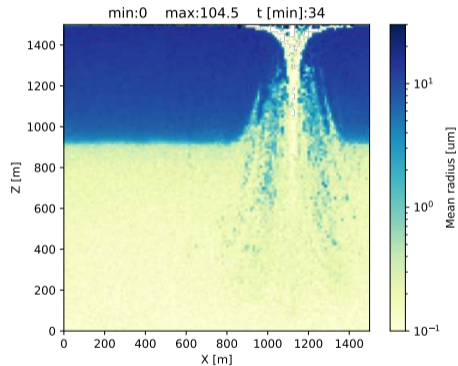
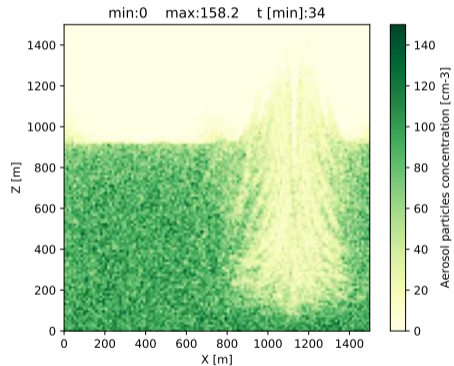
Populacja cząstek obliczeniowych:  $2^{21}$



symulacja i wizualizacja: Piotr Bartman (praca magisterska @ WMil UJ)

Siatka obliczeniowa:  $128 \times 128$

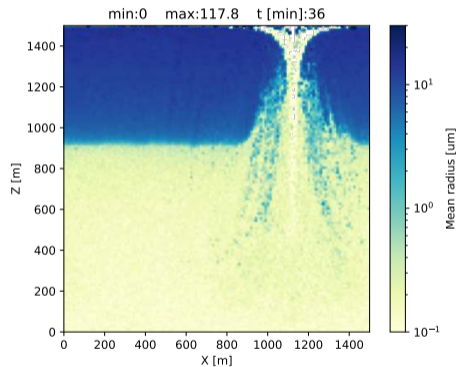
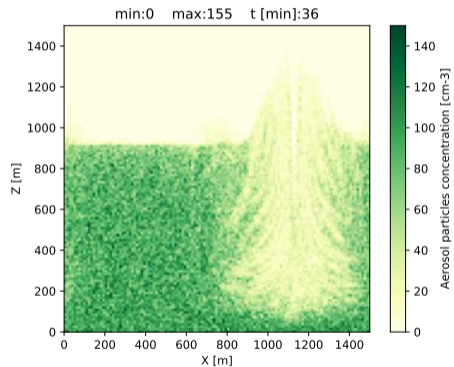
Populacja cząstek obliczeniowych:  $2^{21}$



symulacja i wizualizacja: Piotr Bartman (praca magisterska @ WMil UJ)

Siatka obliczeniowa:  $128 \times 128$

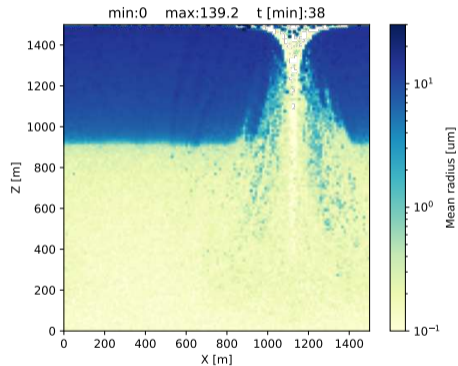
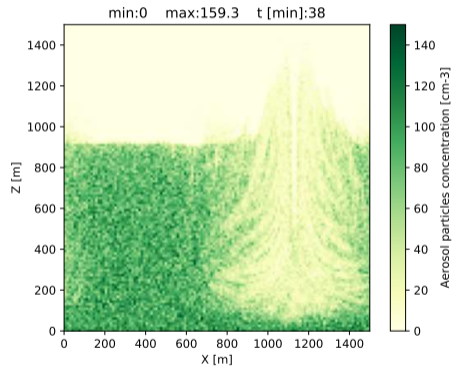
Populacja cząstek obliczeniowych:  $2^{21}$



symulacja i wizualizacja: Piotr Bartman (praca magisterska @ WMil UJ)

Siatka obliczeniowa:  $128 \times 128$

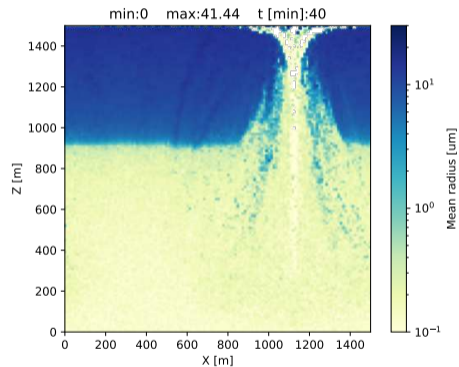
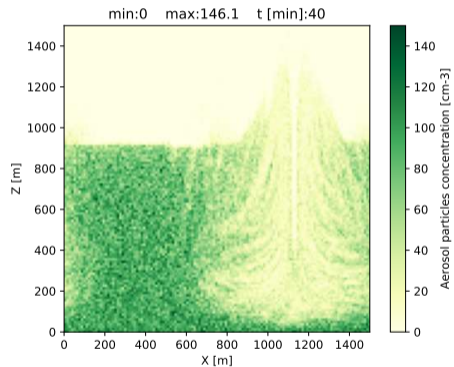
Populacja cząstek obliczeniowych:  $2^{21}$



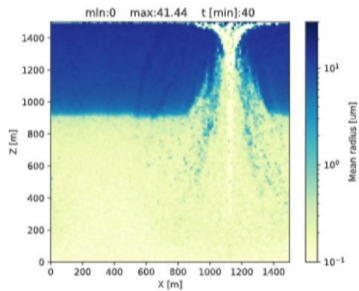
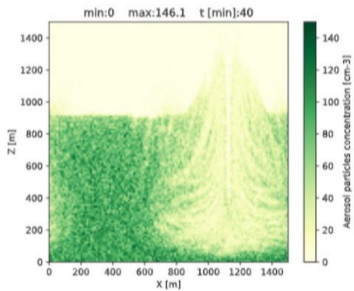
symulacja i wizualizacja: Piotr Bartman (praca magisterska @ WMil UJ)

Siatka obliczeniowa:  $128 \times 128$

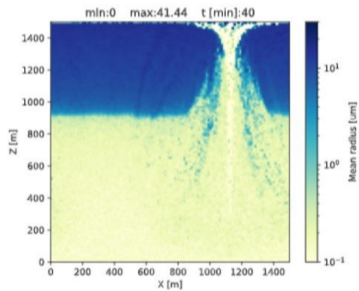
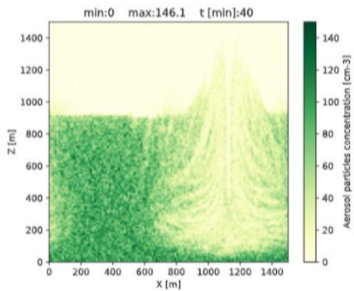
Populacja cząstek obliczeniowych:  $2^{21}$



symulacja i wizualizacja: Piotr Bartman (praca magisterska @ WMil UJ)



```
[3] 1 simulation.run()
```



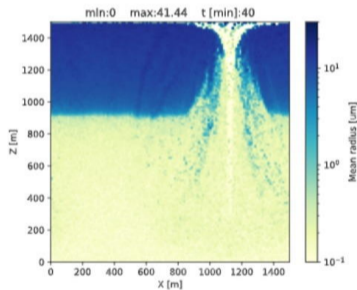
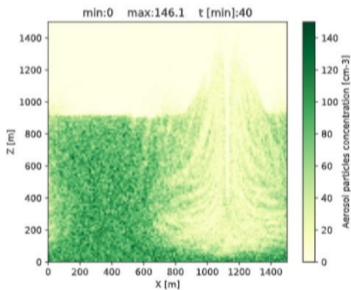


+ Code + Text

RAM   
Disk

Editing

```
[3] 1 simulation.run()
```





demo.ipynb ☆

File Edit View Insert Runtime Tools Help All changes saved

+ Code + Text

RAM  Disk  Editing ^

```
[3] 1 simulation.run()
```

### Notebook settings

Hardware accelerator  
GPU  ?

To get the most out of Colab, avoid using a GPU unless you need one. [Learn more](#)

Omit code cell output when saving this notebook

CANCEL SAVE

Z [m]

X [m]

Aerosol

Mean radius [um]

X [m]

Z [m]

- modelowanie chmur: fizyka i informatyka stosowana
- otwarte pakiety oprogramowania rozwijane na AGH
- demo (przykłady prac dyplomowych)
- tech stack, tematy prac domowych i dalsze losy absolwentów



# PySDM-examples 2.9



Latest version

```
pip install PySDM-examples
```



Released: 4 minutes ago

PySDM usage examples reproducing results from literature and depicting how to use PySDM from Python Jupyter notebooks

## Navigation

[Project description](#)[Release history](#)[Download files](#)

## Project links

[Homepage](#)

## Statistics

GitHub statistics:

[★ Stars: 2](#)[🔗 Forks: 10](#)[🔔 Open issues/PRs: 2](#)

## Project description

License [GPL v3](#) Copyright [Jagiellonian University](#) DOI [10.5281/zenodo.6604645](#)[PySDM-examples](#) [passing](#)[pull requests](#) [2 open](#) [pull requests](#) [159 closed](#)[pypi package](#) [2.9](#) API docs [pdoc3](#)

This repository stores example files for [PySDM](#) depicting usage of [PySDM](#) from Python via Jupyter. For information on the [PySDM](#) package itself and examples of usage from Julia and Matlab, see [PySDM README.md](#) file.

Please use the [PySDM issue-tracking](#) and [discussion](#) infrastructure for [PySDM-examples](#) as well.

### 0D box-model coalescence-only examples:

- [Shima et al. 2009](#) (Box model, coalescence only, test case employing Golovin analytical solution):
  - Fig. 2: [render](#) [nbviewer](#) [launch](#) [binder](#) [Open in Colab](#)
- [Berry 1967](#) (Box model, coalescence only, test cases for realistic kernels):
  - Figs. 5, 8 & 10: [render](#) [nbviewer](#) [launch](#) [binder](#) [Open in Colab](#)
- [Bieli et al. 2022](#) (Box model, coalescence and breakup with fixed coalescence efficiency):
  - Fig. 2: [render](#) [nbviewer](#) [launch](#) [binder](#) [Open in Colab](#)

# Key drivers of cloud response to surface-active organics

S.J. Lowe<sup>1,2</sup>, D.G. Partridge<sup>3</sup>, J.F. Davies<sup>4</sup>, K.R. Wilson<sup>5</sup>, D. Topping<sup>6</sup> & I. Riipinen<sup>1,2,7\*</sup>

Aerosol-cloud interactions constitute the largest source of uncertainty in global radiative forcing estimates, hampering our understanding of climate evolution. Recent empirical evidence suggests surface tension depression by organic aerosol to significantly influence the formation of cloud droplets, and hence cloud optical properties. In climate models, however, surface tension of water is generally assumed when predicting cloud droplet concentrations. Here we show that the sensitivity of cloud microphysics, optical properties and shortwave radiative effects to the surface phase are dictated by an interplay between the aerosol particle size distribution, composition, water availability and atmospheric dynamics. We demonstrate that accounting for the surface phase becomes essential in clean environments in which ultrafine particle sources are present. Through detailed sensitivity analysis, quantitative constraints on the key drivers – aerosol particle number concentrations, organic fraction and fixed updraft velocity – are derived for instances of significant cloud microphysical susceptibilities to the surface phase.

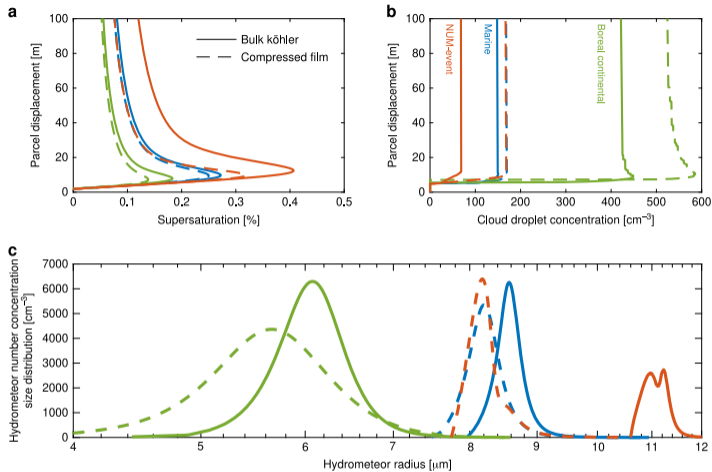
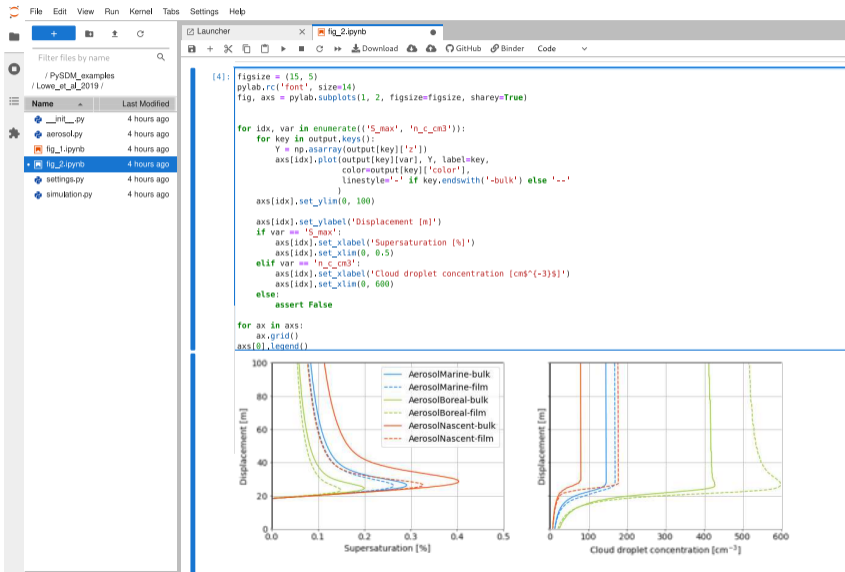


Fig. 2 Simulated microphysics of cloud events on marine (MA, blue), boreal (HYY, green) and NUM-event (NE, orange) aerosol populations. Cloud-formation event simulations using bulk Köhler BK (solid lines) and approximate compressed film CF (dotted lines) models of cloud droplet activation with initial temperature  $T = 280 \text{ K}$ , pressure  $P = 98,000 \text{ Pa}$ , supersaturation  $s = -0.1\%$  and fixed updraft velocity  $w = 0.32 \text{ ms}^{-1}$ . Simulated (a) ambient parcel supersaturation and (b) cloud droplet number concentration during parcel ascent. c Simulated droplet size distribution at a parcel displacement 200 m above initialisation

example contributed by Clare Singer et al. (<https://claresinger.github.io/>)



The screenshot shows a JupyterLab environment with a file browser on the left and a code editor on the right. The file browser displays a directory structure with files like `__init__.py`, `aerosol.py`, `fig_1.ipynb`, `fig_2.ipynb`, `settings.py`, and `simulation.py`. The code editor shows a Python script for plotting. Below the code, two plots are displayed side-by-side. The left plot shows Displacement [m] vs. Supersaturation [%], and the right plot shows Displacement [m] vs. Cloud droplet concentration [ $\text{cm}^{-3}$ ].

```
[4]: figsize = (15, 5)
pylab.rc('font', size=14)
fig, axes = pylab.subplots(1, 2, figsize=figsize, sharey=True)

for idx, var in enumerate(['S_max', 'n_c_cm3']):
    for key in output.keys():
        Y = np.asarray(output[key]['z'])
        axes[idx].plot(output[key][var], Y, label=key,
                      color=output[key]['color'],
                      linestyle='-' if key.endswith('-bulk') else '--')
    axes[idx].set_ylim(0, 100)

axes[idx].set_ylabel('Displacement [m]')
if var == 'S_max':
    axes[idx].set_xlabel('Supersaturation [%]')
    axes[idx].set_xlim(0, 0.5)
elif var == 'n_c_cm3':
    axes[idx].set_xlabel('Cloud droplet concentration [ $\text{cm}^{-3}$ ]')
    axes[idx].set_xlim(0, 600)
else:
    assert False

for ax in axes:
    ax.grid()
axes[0].legend()
```

The left plot shows Displacement [m] on the y-axis (0 to 100) versus Supersaturation [%] on the x-axis (0.0 to 0.5). It contains six curves: AerosolMarine-bulk (solid blue), AerosolMarine-film (dashed blue), AerosolBoreal-bulk (solid green), AerosolBoreal-film (dashed green), AerosolNascent-bulk (solid red), and AerosolNascent-film (dashed red). The right plot shows Displacement [m] on the y-axis (0 to 100) versus Cloud droplet concentration [ $\text{cm}^{-3}$ ] on the x-axis (0 to 600). It contains the same six curves as the left plot.

# first coupling with an external CFD code (Oleksii Bulenok) (<https://github.com/CliMA/ClimateMachine.jl/pull/2244>)

## PySDM and ClimateMachine coupling examples in Kinematic setup #2244

[Code](#)

[Open](#) abulenok wants to merge 16 commits into `CliMA:master` from `abulenok:ob-pysdmachine`

Conversation 32

Commits 16

Checks 10

Files changed 17

+2,528 -1



abulenok commented on 27 Oct 2021

Contributor

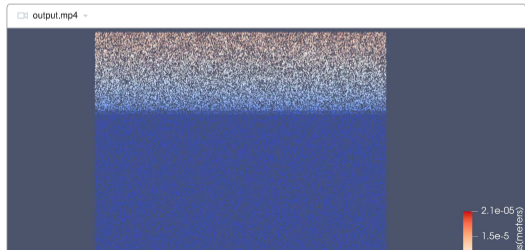
This PR includes a coupling logic for `ClimateMachine.jl` and `PySDM`.

`PySDM` is a particle-based aerosol/cloud microphysics package written entirely in Python.

This PR depicts how Python modules can be leveraged within `ClimateMachine.jl` including the continuous integration setup.

The initial set of tests included here is based on the kinematic 2D example previously used as a test case in both `PySDM` and `ClimateMachine.jl`. In the tests added in this PR, `ClimateMachine.jl` handles air motion and total water transport, while `PySDM` handles representation of aerosol and liquid water transport as well as phase changes leading to formation of cloud water.

Output from `PySDM` is handled using VTK files. Example animation with an evolution of radius computed from particle properties is shown below:



### Reviewers

- sdayoo
- charleskawczynski
- claresinger
- jakebolewski
- edejong-csiTech
- tapios

### Assignees

- trontrytel

### Labels

Microphysics

### Projects

None yet

### Milestone

No milestone

### Development

Successfully merging this pull request may close these issues.

None yet

- modelowanie chmur: fizyka i informatyka stosowana
- otwarte pakiety oprogramowania rozwijane na AGH
- demo (przykłady prac dyplomowych)
- tech stack, tematy prac domowych i dalsze losy absolwentów



- ▶ Python, pytest, pylint `python.org`
- ▶ Numba (JIT, multi-threading) `numba.pydata.org`
- ▶ ThrustRTC (GPU-resident backend)  
`pypi.org/project/ThrustRTC`



- ▶ Python, pytest, pylint `python.org`
- ▶ Numba (JIT, multi-threading) `numba.pydata.org`
- ▶ ThrustRTC (GPU-resident backend)  
`pypi.org/project/ThrustRTC`
  
- ▶ GitHub & GitHub Actions `github.com`
- ▶ Codecov `codecov.io`
- ▶ AppVeyor `appveyor.com`



- ▶ Python, pytest, pylint `python.org`
- ▶ Numba (JIT, multi-threading) `numba.pydata.org`
- ▶ ThrustRTC (GPU-resident backend)  
`pypi.org/project/ThrustRTC`
  
- ▶ GitHub & GitHub Actions `github.com`
- ▶ Codecov `codecov.io`
- ▶ AppVeyor `appveyor.com`
  
- ▶ Jupyter `jupyter.org`
- ▶ Binder `mybinder.org`
- ▶ Colab `colab.research.google.com`



# numba-mpi

Python 3 LLVM Numba Linux macOS Windows tests passing  
 Pylint passing Maintained? yes License GPL v3 pyPI package 0.26 Anaconda.org 0.26  
 DOI 10.5281/zenodo.7385622

## Numba @njittable MPI wrappers

- covering: size / rank , send / recv , allreduce , bcst , barrier
- API based on NumPy and supporting numeric and character datatypes
- auto-generated docstring-based API docs on the web: <https://numba-mpi.github.io/numba-mpi>
- pure-Python implementation with packages available on PyPI and Conda Forge
- CI-tested on: Linux (MPICH, OpenMPI & Intel MPI), macOS (MPICH & OpenMPI) and Windows (MS MPI)

Hello world example:

```
import numba, numba_mpi, numpy

@numba.njit()
def hello():
    print(numba_mpi.rank())
    print(numba_mpi.size())

src = numpy.array([1., 2., 3., 4., 5.])
dst_tst = numpy.empty_like(src)

if numba_mpi.rank() == 0:
    numba_mpi.send(src, dest=1, tag=11)
```

Search projects

Help Sponsors Log in Register

numba-mpi 0.26 Latest version  
 pip install numba-mpi Released: Dec 1, 2022

Numba @njittable MPI wrappers tested on Linux, macOS and Windows

Navigation Project description  
 Project description numba-mpi

ANACONDA.ORG Search Anaconda.org Gallery About Ana

conda-forge / packages / numba-mpi 0.28

Numba @njittable MPI wrappers tested on Linux, macOS and Windows  
 copied from cf-staging / numba-mpi

Conda	Files	Labels	Badges
<p>License: GPL-3.0-only            Home: <a href="https://pypi.org/project/numba-mpi/">https://pypi.org/project/numba-mpi/</a>            Development: <a href="https://github.com/numba-mpi/numba-mpi/">https://github.com/numba-mpi/numba-mpi/</a>            Documentation: <a href="https://numba-mpi.github.io/numba-mpi/">https://numba-mpi.github.io/numba-mpi/</a>            2708 total downloads</p>			

## dotychczas zrealizowane prace dyplomowe

- ▶ **Piotr Bartman** (informatyka) – aktualnie @invisiblethingslab.com & doktorant @UJ  
„PySDM v1.0: Pythonic particle-based cloud microphysics package”  
↪ <https://ap.uj.edu.pl/diplomas/141204/>
- ▶ **Michael Olesik** (fizyka) – aktualnie doktorant @UJ  
„On higher-order finite differencing for condensational growth in particulate systems”  
↪ <https://ap.uj.edu.pl/diplomas/141977/>
- ▶ **Kacper Derlatka** (informatyka) – aktualnie @pega.com  
„Distributed-memory parallelism with Python: MPI support in PyMPDATA...”  
↪ <https://ap.uj.edu.pl/diplomas/166883/>
- ▶ **Oleksii Bulenok** (informatyka) – aktualnie @swmansion.com  
„Monte-Carlo collisional breakup in PySDM: GPU support and validation ...”  
↪ <https://ap.uj.edu.pl/diplomas/166879/>

# propozycje tematów prac dyplomowych

## propozycje tematów prac dyplomowych

- ▶ **PySDM** (fizyka chmur, metody Monte-Carlo):
  - inż**: wizualizacje 3D w ramach CI
  - mgr**: rozszerzenie o śledzenie temperatur kropeł

## propozycje tematów prac dyplomowych

- ▶ **PySDM** (fizyka chmur, metody Monte-Carlo):
  - inż**: wizualizacje 3D w ramach CI
  - mgr**: rozszerzenie o śledzenie temperatur kropeł
- ▶ **PyMPDATA** (równania różniczkowe cząstkowe, numeryka):
  - inż**: dynamika płynu w przybl. Boussinesq'a (bazując na przykł. z libmpdata++)
  - mgr**: wycena opcji azjatyckich (matematyka finansowa)



## proponujcie tematów prac dyplomowych

- ▶ **PySDM** (fizyka chmur, metody Monte-Carlo):
  - inż**: wizualizacje 3D w ramach CI
  - mgr**: rozszerzenie o śledzenie temperatur kropeł
- ▶ **PyMPDATA** (równania różniczkowe cząstkowe, numeryka):
  - inż**: dynamika płynu w przybl. Boussinesq'a (bazując na przykł. z libmpdata++)
  - mgr**: wycena opcji azjatyckich (matematyka finansowa)
- ▶ **numba-mpi** (komunikacja między węzłami superkomputerów):
  - inż**: wsparcie dla komunikacji w "podgrupach" węzłów superkomputera
  - mgr**: wsparcie dla komunikacji typów definiowanych przez użytkownika

## proponujcie tematów prac dyplomowych

- ▶ **PySDM** (fizyka chmur, metody Monte-Carlo):
  - inż**: wizualizacje 3D w ramach CI
  - mgr**: rozszerzenie o śledzenie temperatur kropeł
- ▶ **PyMPDATA** (równania różniczkowe cząstkowe, numeryka):
  - inż**: dynamika płynu w przybl. Boussinesq'a (bazując na przykł. z libmpdata++)
  - mgr**: wycena opcji azjatyckich (matematyka finansowa)
- ▶ **numba-mpi** (komunikacja między węzłami superkomputerów):
  - inż**: wsparcie dla komunikacji w "podgrupach" węzłów superkomputera
  - mgr**: wsparcie dla komunikacji typów definiowanych przez użytkownika
- ▶ **PyMPDATA-MPI** (PyMPDATA @ Cyfronet):
  - inż**: rozszerzenie na 3D (aktualnie przykłady jedynie dla 2D)
  - mgr**: przykład rozwiązujący równania płytkiej wody na sferze

## proponucje tematów prac dyplomowych

- ▶ **PySDM** (fizyka chmur, metody Monte-Carlo):
  - inż**: wizualizacje 3D w ramach CI
  - mgr**: rozszerzenie o śledzenie temperatur kropeł
- ▶ **PyMPDATA** (równania różniczkowe cząstkowe, numeryka):
  - inż**: dynamika płynu w przybl. Boussinesq'a (bazując na przykł. z libmpdata++)
  - mgr**: wycena opcji azjatyckich (matematyka finansowa)
- ▶ **numba-mpi** (komunikacja między węzłami superkomputerów):
  - inż**: wsparcie dla komunikacji w "podgrupach" węzłów superkomputera
  - mgr**: wsparcie dla komunikacji typów definiowanych przez użytkownika
- ▶ **PyMPDATA-MPI** (PyMPDATA @ Cyfronet):
  - inż**: rozszerzenie na 3D (aktualnie przykłady jedynie dla 2D)
  - mgr**: przykład rozwiązujący równania płytkiej wody na sferze
- ▶ **PyPartMC**: (interfejs Fortran  $\rightsquigarrow$  C++  $\rightsquigarrow$  Python)
  - inż**: przykład użycia w C++ (aktualnie: Python, Matlab & Julia)
  - mgr**: porównanie PyPartMC vs. PySDM vs. rozwiązanie analityczne

## proponycje tematów prac dyplomowych (pl/en; stypendia naukowe NCN!)

- ▶ **PySDM** (fizyka chmur, metody Monte-Carlo):
  - inż**: wizualizacje 3D w ramach CI
  - mgr**: rozszerzenie o śledzenie temperatur kropeł
- ▶ **PyMPDATA** (równania różniczkowe cząstkowe, numeryka):
  - inż**: dynamika płynu w przybl. Boussinesq'a (bazując na przykł. z libmpdata++)
  - mgr**: wycena opcji azjatyckich (matematyka finansowa)
- ▶ **numba-mpi** (komunikacja między węzłami superkomputerów):
  - inż**: wsparcie dla komunikacji w "podgrupach" węzłów superkomputera
  - mgr**: wsparcie dla komunikacji typów definiowanych przez użytkownika
- ▶ **PyMPDATA-MPI** (PyMPDATA @ Cyfronet):
  - inż**: rozszerzenie na 3D (aktualnie przykłady jedynie dla 2D)
  - mgr**: przykład rozwiązujący równania płytkiej wody na sferze
- ▶ **PyPartMC**: (interfejs Fortran  $\rightsquigarrow$  C++  $\rightsquigarrow$  Python)
  - inż**: przykład użycia w C++ (aktualnie: Python, Matlab & Julia)
  - mgr**: porównanie PyPartMC vs. PySDM vs. rozwiązanie analityczne



Dziękuję za uwagę!

[github.com/slayoo](https://github.com/slayoo)

[sylwester.arabas@agh.edu.pl](mailto:sylwester.arabas@agh.edu.pl)